

文章编号:1000-7423(2003)02-0084-03

【论著】

# 约氏疟原虫卵囊黑化与卵囊内游离钙关系的研究

张锡林\* 徐文岳 王英 段建华 况明书

**【摘要】** 目的 研究大劣按蚊胃的约氏疟原虫卵囊黑化时卵囊内  $\text{Ca}^{2+}$  的变化, 探讨疟原虫感染不易感蚊种时卵囊黑化与囊内  $\text{Ca}^{2+}$  的相互关系。方法 以荧光染料 Fluo-3/Am 作卵囊内钙指示剂, 应用共聚焦激光扫描显微镜 (CLSM) 观察不同时期约氏疟原虫卵囊内  $\text{Ca}^{2+}$  分布、变化以及检测的实验条件。结果  $3 \mu\text{mol/L}$  Fluo-3/Am 同时加入  $1 \mu\text{l/ml}$  25% Pluronic F-127 在  $37^\circ\text{C}$  恒温下, 孵育约氏疟原虫卵囊 60 min 即可达到最佳的负载效果。Fluo-3/Am 浓度的提高和孵育时间延长只能增加背景染色, 若降低孵育浓度和缩短孵育时间则难于达到最佳的负载效果。约氏疟原虫成熟卵囊的囊内  $\text{Ca}^{2+}$  为  $(137.15 \pm 7.02) \text{ nmol/L}$ , 完全黑化卵囊为  $(18.44 \pm 1.75) \text{ nmol/L}$ , 并在囊壁出现明显的钙沉着。

**结论** 约氏疟原虫卵囊完全黑化时, 囊内  $\text{Ca}^{2+}$  明显减少, 并有外排现象。

**【关键词】** 约氏疟原虫; 卵囊; 黑化;  $\text{Ca}^{2+}$ ; 共聚焦激光扫描显微镜 (CLSM)

中图分类号: R382.31

文献标识码: A

## Study on the Relationship between Intracellular Free Calcium and Melanization in Oocysts of *Plasmodium yoelii*

ZHANG Xi-lin, XU Wen-yue, WANG Ying, DUAN Jian-hua, KUANG Ming-shu  
(Department of Pathobiology, the Third Military Medical University, Chongqing 400038)

**[Abstract]** Objective To study the change of intracellular free  $\text{Ca}^{2+}$  in the oocyst when it melanized and to find out the relationship between the melanized oocyst and its intracellular level of free  $\text{Ca}^{2+}$  in a *Plasmodium*-refractory strain of *Anopheles dirus*. Methods The distribution and experimental condition of the intracellular free  $\text{Ca}^{2+}$  in oocyst of *Plasmodium yoelii* was measured with  $\text{Ca}^{2+}$  sensitive dye Fluo-3/AM and Pluronic F-127 under confocal laser scanning microscope (CLSM) at different time. Results The best load condition was that the oocysts were incubated in  $3 \mu\text{mol/ml}$  Fluo-3/AM adding  $1 \mu\text{l/ml}$  25% Pluronic F-127 for 60 min at  $37^\circ\text{C}$ . Fluorescent imaging of oocysts was affected by an increase or decrease of the concentration of Fluo-3/AM and incubation time. The distribution of intracellular free  $\text{Ca}^{2+}$  was heterogeneous in the oocysts. The mean value of  $\text{Ca}^{2+}$  in the mature oocysts was  $(137.15 \pm 7.02) \text{ nmol/L}$  ( $\bar{X} \pm S$ ) but was  $(18.44 \pm 1.75) \text{ nmol/L}$  in melanized oocysts with  $\text{Ca}^{2+}$  sedimentation in the wall of oocyst. Conclusion The results suggest that the level of the intracellular free  $\text{Ca}^{2+}$  in oocyst decreased and excreted during its melanization in a *Plasmodium*-refractory anopheline mosquito species.

**【Key words】** *Plasmodium yoelii*, oocyst, melanization,  $\text{Ca}^{2+}$ , CLSM

Supported by the National Natural Science Foundation of China (No. 30200237)

疟原虫在媒介蚊体内进行配子生殖和孢子增殖, 最后产生子孢子, 在按蚊再次叮刺宿主时导致感染。不同的蚊种对不同的疟原虫易感性不同, 如斯氏按蚊是约氏疟原虫的易感蚊种, 而大劣按蚊则为不易感蚊种。疟原虫卵囊在不易感蚊种的体内发育过程中将出现黑化 (melanization) 现象<sup>[1]</sup>。为进一步了解疟原虫卵囊黑化反应的机制, 本实验以疟原虫侵入、寄生宿主细胞时的胞内外钙平衡机制为基础, 应用共聚焦激光扫描显微镜 (confocal laser scanning microscope, CLSM) 检测疟原虫感染后不同时间卵囊内  $\text{Ca}^{2+}$ , 研究约氏疟原虫在不易感蚊种——大劣按蚊体内出现卵囊黑化时, 卵囊内游离  $\text{Ca}^{2+}$  的动态变化, 探讨疟原虫卵囊黑化与  $\text{Ca}^{2+}$  平衡、 $\text{Ca}^{2+}$  信号的关系。

## 材料与方法

### 1 材料

约氏疟原虫 (*Plasmodium yoelii*) BY265 株, 保种于昆明小鼠体内, 每周血传 1 次, 每 5 周蚊传 1 次。斯氏按蚊 (*Anopheles stephensi*) Hor 株常规饲养, 在羽化后 3~5 d 吸感染约氏疟原虫的小鼠血, 置  $24^\circ\text{C}$ ~ $25^\circ\text{C}$ 、相对湿度 70%~80% 的恒温室内继续饲养。大劣按蚊 (*Anopheles dirus*) 为我室建立的自然交配繁殖种群。常规饲养, 其饲养条件和方法同斯氏按蚊。

### 2 方法

斯氏按蚊、大劣按蚊吸感染血后, 饲以 10% 蔗糖水, 在感染后第 5 天、11 天和 15 天时, 分别解剖出蚊胃, 检测疟原虫卵囊, 观察这 3 天约氏疟原虫卵囊的数量和黑化情况, 比较其感染率 (有卵囊蚊总数 / 解剖蚊

基金项目:国家自然科学基金资助项目 (No. 30200237)

作者单位:第三军医大学病原生物学教研室, 重庆 400038

\* 联系人, E-mail:jscxld@mail.tmmu.com.cn

总数)、感染度(卵囊总数/解剖蚊总数)及黑化比率(有黑化卵囊蚊总数/解剖蚊总数)。随后检测黑化与非黑化卵囊内  $\text{Ca}^{2+}$  的数量和动态变化。

### 3 $\text{Ca}^{2+}$ 荧光指示剂 Fluo-3/AM 负载着色和条件选择

选用  $\text{Ca}^{2+}$  敏感荧光染料 Fluo-3 (molecular probes, Sigma), 以乙酰甲氧基(acetoxymethyl, AM)酯化形式扩散入细胞。预先配置的贮备液 Fluo-3/AM 以  $1 \mu\text{g}/\mu\text{l}$  溶于纯净无水的二甲基亚砜(DMSO)中, 非离子型的多元醇表面活化剂 Pluronic F-127 以 25% (W/V) 的比例溶于无水 DMSO 中, 牛血清白蛋白(BSA)以 2% 的比例溶于无血清 RPMI 1640 培养液中。将 Fluo-3/AM、Pluronic F-127 贮备液分别用无血清 RPMI 1640 培养液配置成不同的浓度。新鲜分离的蚊胃分别加入终浓度为 1、2、3、4 和 5  $\mu\text{mol}/\text{L}$  的 Fluo-3/AM, 不加或加入不同浓度(0.1、0.5、1.0 和 1.5  $\mu\text{l}/\text{ml}$ )25% 的 Pluronic F-127, 置于 37 °C、5%  $\text{CO}_2$  培养箱中孵育, 期间轻轻震动几次, 分别孵育 30、60、90 和 120 min 后, 用无血清的 RPMI 1640 培养液洗涤 2 次, 重悬于 RPMI 1640 培养液中, 用于 CLSM 系统中检测。

### 4 约氏疟原虫卵囊内 $\text{Ca}^{2+}$ 的共聚焦图象观测

Fluo-3/AM 在胞内被酯酶水解成 Fluo-3, 以 488 nm 的氩离子激光激发, 可在 525 nm 处探测到荧光发射。Fluo-3 在结合  $\text{Ca}^{2+}$  后荧光强度增加, 可指示卵囊内游离  $\text{Ca}^{2+}$  的相对变化。使用 Leica 激光共聚焦显微镜(TCS-NT 165211), 在 40× 物镜下动态观察 Fluo-3 指示的  $\text{Ca}^{2+}$  的时间和空间变化。激光共聚焦显微镜可以观察细胞某层面的  $\text{Ca}^{2+}$  荧光图象。 $\text{Ca}^{2+}$  图象经光电倍增管(PMT)和冷电耦合器件(ccCD)摄象机, 以数字方式输出到计算机, 计算出某一区域  $\text{Ca}^{2+}$  信号的时间变化曲线。采用 IDQ (ion domain quantify) 软件(由 Leica 公司提供)对所选定的区域荧光强度进行数据采集。由该软件提供的窗口可对荧光强度的变化进行实时观测, 也可将数据输入到 Microsoft Excel 中作进一步分析处理。

## 结 果

### 1 约氏疟原虫对大劣按蚊蚊胃感染率和卵囊黑化比率

血餐后 5 d 蚊胃壁开始形成卵囊, 但卵囊数量不多, 个体较小, 感染率为 76.5% (13/17), 卵囊黑化比率为 0。11 d 时, 部分卵囊出现局部黑化, 囊内有黑色颗粒沉着, 感染率为 69.2% (9/13), 卵囊黑化比率为 38.5% (5/13)。15 d 时绝大多数卵囊出现部分黑化

或完全黑化, 感染率和卵囊黑化比率均达 58.3% (7/12), 见图 1。

### 2 大劣按蚊、斯氏按蚊蚊胃卵囊的 Fluo-3/Am 负载及最终染色条件

应用 1~6  $\mu\text{mol}/\text{L}$  不同浓度 Fluo-3/Am, 37 °C 恒温孵育大劣按蚊、斯氏按蚊蚊胃的约氏疟原虫卵囊 30~90 min 不同时间内, 分别观察 Fluo-3 与卵囊内游离钙结合后被激光束激发出的荧光。结果显示 3  $\mu\text{mol}/\text{L}$  Fluo-3/Am, 37 °C 恒温孵育约氏疟原虫卵囊 60 min 即可达到最佳的负载效果, 孵育浓度进一步提高和孵育时间的再延长只能增加背景染色, 影响图像的清晰度。若降低孵育浓度和缩短孵育时间则难于达到最佳的负载效果。Pluronic F-127 对疟原虫卵囊外排 Fluo-3/AM 具有阻断作用, 不加 Pluronic F-127 的实验组, 随着测定时间延长, 卵囊内  $\text{Ca}^{2+}$  荧光强度逐渐减弱, 背景加深, 不利于结果的观察和比较; 加不同浓度 Pluronic F-127 后, 上述外排现象明显减弱, 并受到 F-127 浓度的依赖性抑制, 1  $\mu\text{l}/\text{ml}$  即可达到或接近最大抑制。继续增加 Pluronic F-127 的浓度, 将影响疟原虫卵囊的活性。囊内  $\text{Ca}^{2+}$  的荧光反将减弱。结果表明 1  $\mu\text{l}/\text{ml}$  25% Pluronic F-127 和 Fluo-3/AM 负载约氏疟原虫卵囊, 囊内  $\text{Ca}^{2+}$  荧光着色均匀, 便于结果的观察和比较。

### 3 大劣按蚊、斯氏按蚊蚊胃卵囊内 $\text{Ca}^{2+}$ 的共聚焦图象的检测分析

用 3  $\mu\text{mol}/\text{L}$  的 Fluo-3/AM 的浓度加入 1  $\mu\text{l}/\text{ml}$  25% 的 Pluronic F-127, 37 °C 孵育 60 min, 约氏疟原虫卵囊内  $\text{Ca}^{2+}$  显示黄绿色荧光, 在血餐后的不同时期卵囊内  $\text{Ca}^{2+}$  的分布不相同(图 2)。血餐后 5 d 大劣按蚊、斯氏按蚊蚊胃的未成熟卵囊内  $\text{Ca}^{2+}$  呈匀质状分布。 $\text{Ca}^{2+}$  在卵囊内的荧光着色使整个卵囊显示亮绿色的“圆球型”, 而卵囊的囊壁未显荧光。两种蚊囊内  $\text{Ca}^{2+}$  的均值为  $(52.46 \pm 2.57)$  nmol/L。血餐后 7 d, 斯氏按蚊蚊胃和大劣按蚊少数未出现黑化的成熟卵囊, 囊内游离  $\text{Ca}^{2+}$  呈点、块状分布, 散在分布于囊内。囊内  $\text{Ca}^{2+}$  的均值为  $(137.15 \pm 7.02)$  nmol/L。在大劣按蚊蚊胃的部分黑化卵囊内, 囊内游离  $\text{Ca}^{2+}$  聚集成块状或片状, 囊内游离  $\text{Ca}^{2+}$  减少  $(61.05 \pm 5.74)$  nmol/L; 大劣按蚊蚊胃卵囊完全黑化时, 囊内游离  $\text{Ca}^{2+}$  明显减少  $(18.44 \pm 1.75)$  nmol/L, 显空泡状, 但囊壁有明显的  $\text{Ca}^{2+}$  沉着。斯氏按蚊未见黑化和部分黑化的卵囊。囊内  $\text{Ca}^{2+}$  水平见表 1。

表 1 不同时期大劣按蚊和斯氏按蚊卵囊内  $\text{Ca}^{2+}$  水平  
Table 1 Level of the free  $\text{Ca}^{2+}$  in oocysts of *Plasmodium yoelii* at different time after blood meal of *An. dirus* and *An. stephensi*

标本 Sample	标本例数 No. samples	卵囊内游离钙的均数 (nmol/L) Average level of intracellular free calcium
未成熟卵囊 Immature oocysts	Ad 5 As 5	52.63 ± 3.63 52.29 ± 1.81
成熟卵囊 Mature oocysts	Ad 4 As 7	137.55 ± 8.22 133.75 ± 4.43
部分黑化的卵囊 Partially melanized oocysts	Ad 6 As 0	61.05 ± 5.74 0
黑化的卵囊 Melanized oocysts	Ad 8 As 0	18.44 ± 1.75 0

\* Ad 大劣按蚊 *An. dirus* As 斯氏按蚊 *An. stephensi*

$P > 0.05$

## 讨 论

按蚊对疟原虫的黑化包被 (melanotic encapsulation) 为蚊的免疫防御反应之一, 主要出现在疟原虫感染不适宜按蚊的情况下。该反应是一种体液黑化反应 (humoral melanization), 由蚊体内的前酚氧化酶级联反应 (prophenoloxidase cascade) 介导引起。在反应过程中, 产生大量的醌类中间产物沉积到入侵的病原体周围形成黑色素, 起到隔离杀死病原体的作用。对疟原虫将抑制卵囊的形成或成熟, 阻断在蚊体内的发育, 即为疟原虫的黑化包被反应<sup>[2]</sup>。

前期研究已表明大劣按蚊能黑化包被大多数约氏疟原虫卵囊, 并抑制其发育, 而人疟原虫卵囊极少出现黑化<sup>[3]</sup>。随着研究的深入, 希望能直观地了解疟原虫卵囊黑化反应中虫体生理特性的变化, 尤其是在卵囊黑化反应中虫体胞内外  $\text{Ca}^{2+}$  的动态变化和作用。激光共聚焦技术结合离子的荧光标记, 可记录细胞形态和离子动态变化过程。能用于对疟原虫卵囊黑化反应中虫体胞内外  $\text{Ca}^{2+}$  变化的实验观察。

$\text{Ca}^{2+}$  为真核细胞内普遍存在的信号转导分子, 通过  $\text{Ca}^{2+}$  与蛋白质的连接介导细胞的活动, 从而控制许多细胞的功能<sup>[4]</sup>。在某一段时间内, 胞内  $\text{Ca}^{2+}$  浓度的升高, 对细胞具有毒性, 将导致细胞的死亡。为维持正常胞内游离  $\text{Ca}^{2+}$  的浓度, 真核细胞已具有在胞内隐蔽  $\text{Ca}^{2+}$  和排出多余胞内  $\text{Ca}^{2+}$  的机制<sup>[5]</sup>。然而对胞内寄生原虫如疟原虫、利什曼原虫和弓形虫等其自身适应寄生胞内外不同的  $\text{Ca}^{2+}$  环境以及调节钙平衡功能方面的认识还很不完全。夏氏疟原虫红内期三磷酸肌醇 (InsP<sub>3</sub>) 对胞内游离  $\text{Ca}^{2+}$  调节作用的研究表明, 疟原虫对红细胞的侵入和胞内发育, 将导致虫体胞内 InsP<sub>3</sub> 的增加, 而引起  $\text{Ca}^{2+}$  从氯喹敏感和不敏感钙库的释放。这种胞内钙库依赖 InsP<sub>3</sub> 的钙释放, 可能是调节胞内虫体生长和发育的重要因素之一<sup>[6]</sup>。在恶性疟

原虫无性期鉴定出位于内质网的钙连接蛋白 (PfERC), 其分子量约 40 kDa, 相当于早先定位于配子体表面的配子体蛋白 (Pfs40), PfERC 为钙连接蛋白中的一种, 在疟原虫的蛋白转运中可能起作用<sup>[7]</sup>。Marchesini 等用  $\text{Ca}^{2+}$  荧光指示剂 fura-2/AM 标记伯氏疟原虫滋养体检测胞内钙浓度。在存在肌醇/内质网  $\text{Ca}^{2+}$ -ATP 酶抑制剂时, 胞内游离钙浓度升高。另外滋养体具有储存钙的胞内酸性细胞器。这些酸性小体中均有 V-H<sup>+</sup>-PP 酶和 V-H<sup>+</sup>-ATP 酶, 显示疟原虫存在的酸性体与在锥虫、弓形虫中介绍的酸性体具有相同特征<sup>[8]</sup>。本实验结果表明成熟卵囊内的游离钙达到最高量, 随着卵囊黑化的出现, 卵囊内钙量逐渐减少。卵囊完全黑化时, 囊内游离钙达最低点, 且囊壁出现明显的钙沉着。该现象在成熟卵囊、未成熟卵囊和部分黑化卵囊都不存在。推测在卵囊黑化过程中, 可能出现虫体胞内钙释放和囊内钙的外排, 破坏虫体的钙平衡或促进卵囊黑化, 该机制尚待进一步研究。

黑化包被反应是决定按蚊对疟原虫抗性的主要因素之一, 因此研究按蚊黑化包被疟原虫机制可为遗传防治蚊媒提供理论依据, 同时还有助于对疟原虫-蚊媒相互关系的理解。目前, 对黑化包被反应中激发反应的信号通路, 尤其是虫体钙平衡和钙信号转导机制的研究尚少。而该类研究将为抗疟药物、抗虫疫苗的研究寻找新的靶目标。(图 1,2 见封三)

## 参 考 文 献

- [1] Collins FH, Sakai RK, Vernick KD, et al. Genetic selection of a *Plasmodium*-refractory strain of the malaria vector *Anopheles gambiae* [J]. Science, 1986, 234: 607-610.
- [2] Dimopoulos D, Muller HM, Levashina EA, et al. Innate immune defense against malaria infection in the mosquito [J]. Curr Opin Immunol, 2001, 13: 79-88.
- [3] 徐文岳, 黄复生, 张锡林, 等. 大劣按蚊血淋巴酚氧化酶活性与约氏疟原虫卵囊黑化关系的研究 [J]. 第三军医大学学报, 2001, 23: 440-442.
- [4] David EC. Calcium signaling transduction [J]. Cell, 1995, 80: 259-268.
- [5] Garcia CRS. Calcium homeostasis and signaling in the blood-stage malaria parasite [J]. Parasitol Today, 1999, 15: 488-491.
- [6] Passos APD, Garcia CRS. Inositol 1,4,5-triphosphate induced  $\text{Ca}^{2+}$  release from chloroquine-sensitive and -insensitive intracellular stores in the intraerythrocytic stage of the malaria parasite *P. chabaudi* [J]. Biochem Biophys Res Commun, 1998, 245: 155-160.
- [7] Greca NL, Hibbs AR, Riffkin C, et al. Identification of an endoplasmic reticulum-resident calcium-binding protein with multiple EF-hand motifs in asexual stages of *Plasmodium falciparum* [J]. Mol Biochem Parasitol, 1997, 89: 283-294.
- [8] Marchesini N, Luo S, Rodrigues CO, et al. Acidocalcisomes and a vacuolar H<sup>+</sup>-pyrophosphatase in malaria parasites [J]. Biochem J, 2000, 347: 243-253.

(Continued from outside back cover)

- The prevalence and control of schistosomiasis in marshland of Tongling County ..... JIN Jiang, GAO Chang-sheng(126)  
An investigation on intestinal helminth infections among residents of Harbin City ..... NIU Hong, LIU Yan-lin, YANG Xiao-jie, et al (127)  
Effect of chemotherapeutic regimens on soil-transmitted nematode infections in areas with low endemicity ..... YANG Wei-ping, SHAO Jing-ou, CHEN Ye-jun, et al (128)  
One case of human infection with *Rhabditella axei* in Jiangsu Province ..... SHAO Jing-ou, JIANG Xiao-lan, XU Zhen-gang, et al (68)  
A case of cerebral sparganosis ..... FANG Zheng-ming, LI Yong-long(83)  
A malaria case with more than one ring form of *Plasmodium vivax* within an erythrocyte ..... WANG Xin-cai, DUAN Ai-jun, LIU Run-fang, et al (98)  
A misdiagnosed case of paragonimiasis ..... SONG Li-jie, YAO Gui-ling, ZHANG Li-ping(112)

## 约氏疟原虫卵囊黑化与卵囊内游离钙关系的研究

### Study on the Relationship between Intracellular Free Calcium and Melanization in Oocysts of *Plasmodium yoelii*

(正文见第 84 页 For text, see p. 84)

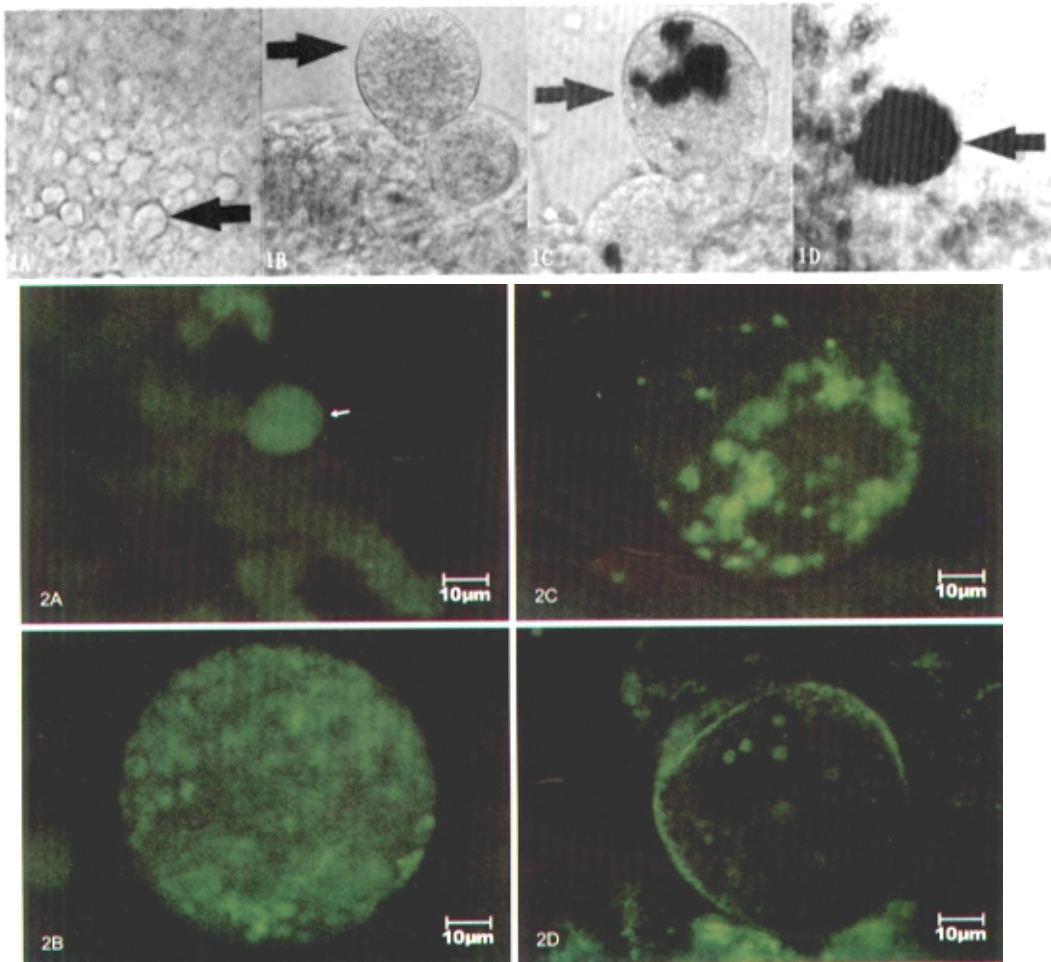


图 1 感染约氏疟原虫 5、7、11 和 15 d 后, 蚊胃卵囊的形态 ( $\times 400$ ) 图 2 感染约氏疟原虫后不同时期蚊胃卵囊内游离  $\text{Ca}^{2+}$  的分布 A 感染后 5 d 的卵囊 B 感染后 7 d 的卵囊 C 感染后 11 d 的部分黑化卵囊 D 感染后 15 d 的完全黑化卵囊

Fig. 1 Morphology of melanized oocyst in the midgut of *An. dirus* and *An. stephensi* in 5, 7, 11 and 15 days after blood meal for infection of *P. yoelii*

Fig. 2 Distribution of intracellular free  $\text{Ca}^{2+}$  in oocyst at different time after infection by *P. yoelii* in the midgut of *An. dirus* and *An. stephensi*  
A Oocyst in 5 days after infection B Oocyst in 7 days after infection C Partially melanized oocyst in 11 days after infection D Melanized oocyst in 15 days after infection